

06;12

**ЧАСТОТНО-ЕМКОСТНОЙ МЕТОД ОПРЕДЕЛЕНИЯ
ЭЛЕКТРОСТАТИЧЕСКИХ ПАРАМЕТРОВ
ПОЛУПРОВОДНИКОВЫХ СТРУКТУР
С ПОТЕНЦИАЛЬНЫМ БАРЬЕРОМ**

© Ю.А. Гольдберг

Физико-технический институт им. А.Ф. Иоффе РАН,
194021 Санкт-Петербург, Россия
(Поступило в Редакцию 22 ноября 1994 г.)

Критический анализ методики измерения импеданса структур с потенциальным барьером позволил объяснить причины отличий многих экспериментальных данных по зависимости емкости C от напряжения U от классических теорий. Разработан частотно-емкостной метод определения истинных электростатических параметров поверхностно-барьерных структур, заключающийся в измерении семейства $C-U$ -характеристик при разных частотах, определении истинного значения диффузионной разности потенциалов из зависимости напряжения отсечки от частоты и восстановления истинной $C-U$ -характеристики в координатах $C^{-2}-U$.

1. Теория электростатических свойств полупроводниковых структур с потенциальным барьером, созданная Шоттки^[1] и Шокли^[2], дала емкостной метод определения электростатических параметров структур. Зависимость дифференциальной барьерной емкости структур C_b от напряжения U

$$C_b = C_{b0}(U_D/U_D - U)^{1/\gamma} \quad (1)$$

представляется прямой линией в координатах $C^{-\gamma}-U$ и из нее определяются параметр γ , характеризующий распределение концентраций примесных атомов в барьере; контактная (диффузионная) разность потенциалов U_D ; ширина слоя объемного заряда $w = \varepsilon_s \varepsilon_0 S/C_b$, разность концентраций ионизованных доноров и акцепторов N_D на границе слоя объемного заряда с квазинейтральной областью, что необходимо для построения энергетической и полевой диаграмм структур (S — площадь барьера, C_{b0} — барьерная емкость при $U = 0$, ε_0 — диэлектрическая проницаемость вакуума, ε_s — статическая диэлектрическая проницаемость полупроводника).

Эта теория исходит из полной ионизации примесных центров в структуре, и поэтому барьерная емкость C_b не должна зависеть от

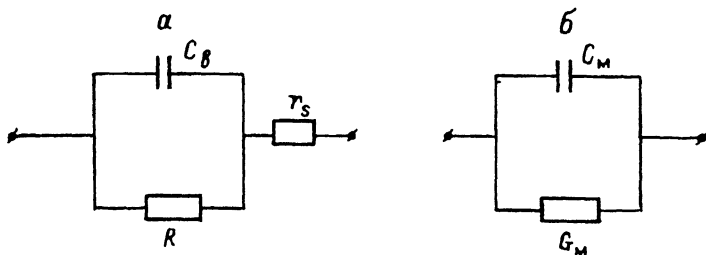


Рис. 1. Эквивалентная схема структуры с потенциальным барьером (а) и ее эквивалентная схема замещения при мостовом методе измерения (б).

частоты измерительного сигнала ω . Когда же не все центры ионизованы, то C_b должна зависеть от ω , и для этого случая развиты теории Саа-Редди [3], Переля-Эфроса [4], Кроувелла [5].

Экспериментальные исследования показали, что зависимость емкости от напряжения для многих, особенно для низкоомных структур с потенциальным барьером, соответствовала теории: $C-U$ -характеристики были линейными в координатах $C^{-\gamma}-U$ ($\gamma = 2$ для однородного и $\gamma = 3$ для линейного распределения примесных центров в слое объемного заряда, значения электростатических параметров, определенные из этих характеристик, соответствовали теоретически ожидаемым. В результате емкостной метод стал одним из главных инструментов при разработке и исследовании $p-n$ и поверхностно-барьерных структур [6].

2. Однако за несколько десятилетий использования емкостного метода у разных исследователей накопился экспериментальный материал, не укладывающийся в рамки теории. Определились два типа отличий, не связанных ни с диффузионной емкостью, ни с наличием в структурах глубокоуровневых центров [6-8]: значения электростатических параметров, полученные из $C-U$ -характеристик, отличались от теоретически ожидаемых, тогда как функциональная связь C и U по-прежнему соответствовала теории; функциональная связь C и U не соответствовала теории настолько, что иногда C вообще не зависела от U .

В работе [9] было высказано предположение, что емкость поверхностно-барьерной структуры, измеренная емкостным методом, может быть не равна истинной емкости из-за зависимости измеряемой емкости от последовательного сопротивления структуры, и была дана теория этой зависимости.

В настоящей работе объясняется причина отмеченных аномалий и предлагается модифицированный (частотно-емкостной) метод определения истинных значений электростатических параметров полупроводниковых структур с потенциальным барьером.

3. В основе емкостного метода измерений лежит малосигнальная эквивалентная схема структуры (рис. 1,а). Она состоит из истинной дифференциальной барьерной емкости структуры C_b , активного дифференциального сопротивления структуры R , равного

$$R = \partial U / \partial I = \frac{kT}{qI_0} \exp(qU/kT), \quad (2)$$

и остаточного сопротивления структуры r_s , представляющего сумму омического сопротивления толщи полупроводника и контактов (I — постоянный ток при напряжении U , I_0 — предэкспоненциальный множитель в зависимости I от U , k — постоянная Больцмана, T — абсолютная температура, q — заряд электрона).

Дифференциальную емкость структуры, как правило, измеряют мостовым методом по параллельной схеме замещения, когда производится отдельно компенсация по емкостной и активной составляющих полной проводимости структуры. Поэтому истинная параллельно-последовательная схема структуры преобразуется в новую, чисто параллельную, схему замещения (рис. 1,б), состоящую из измеряемых мостом емкости C_m и активной проводимости G_m . Вследствие этого измеряемые емкость и проводимость оказываются функцией четырех параметров: C_b , R , r_s и ω .

Очевидно, что если бы реализовался случай $r_s = 0$, то $C_m = C_b$ и $G_m = 1/R$.

Однако реально r_s никогда не равно нулю и, следовательно, C_m и G_m должны отличаться от C_b и $1/R$. Проанализируем это более детально.

Вначале рассмотрим случай, когда $R \gg r_s$ (область малых значений постоянного тока). Тогда обычно считают, что $R \rightarrow \infty$ и переход от последовательно соединенных C_b и r_s к параллельной схеме замещения приводит к следующим соотношениям

$$C_m = C_b \frac{1}{1 + (\omega C_b r_s)^2}, \quad (3)$$

$$G_m = \frac{r_s \omega^2 C_b^2}{1 + (\omega C_b r_s)^2}. \quad (4)$$

Теперь представим зависимость C_m от U в координатах $C_m^{-\gamma} - U$

$$C_m^{-\gamma} = C_b^{-\gamma} \left(1 + \omega^2 C_b^2 r_s^2 \right)^\gamma$$

и, подставляя (1) в (3),

$$C_m^{-\gamma} = C_{b0}^{-\gamma} \left[1 + \omega^2 C_{b0}^2 r_s (U_D/U_D - U) \right]^\gamma \left[(U_D - U)/U_D \right]. \quad (5)$$

Если $r_s \omega C_b \ll 1$ (область низких частот), то

$$C_m^{-\gamma} = C_b^{-\gamma} \left(1 + \gamma \omega^2 C_b^2 r_s^2 \right) \quad (6)$$

и

$$C_m^{-\gamma} = C_{b0}^{-\gamma} \left[(U_D - U)/U_D \right] + \gamma \omega^2 C_{b0}^{2-\gamma} r_s^2 \left[(U_D - U)/U_D \right]^{\gamma-2}. \quad (7)$$

Из (7) видно, что зависимость $C_m^{-\gamma}$ от U при любом γ сдвинута относительно истинной зависимости $C_b^{-\gamma}$ от U . Поэтому в тех случаях, когда зависимость $C_m^{-\gamma}$ от U принимается за истинную зависимость $C_b^{-\gamma}$ от U , возможны серьезные ошибки как в трактовке физических свойств структуры с потенциальным барьером, так и в определении электростатических параметров структуры.

Проанализируем случай однородного распределения ионизованных примесей в потенциальном барьере ($\gamma = 2$), поскольку это наиболее простой и часто встречающийся случай.

Из формулы (5) следует, что

$$C_m^{-2} = C_{b0}^{-2} \left[1 + 2\omega^2 C_{b0}^2 r_s^2 \frac{U_D}{U_D - U} + \omega^4 C_{b0}^4 r_s^4 \frac{U_D^2}{(U_D - U)^2} \right] \frac{U_D - U}{U_D}. \quad (8)$$

Из (8) следует, что C_m^{-2} с ростом U уменьшается, достигает минимума при напряжении

$$U_{\min} = U_D \left(1 - \omega^2 C_{b0}^2 r_s^2 \right), \quad (9)$$

а затем возрастает.

В области низких частот ($\omega C_b r_s \ll 1$) и при $U < U_{\min}$ формула (8) переходит в приближенное соотношение

$$C_m^{-2} \simeq C_{b0}^{-2} \frac{U_D - U}{U_D} + 2\omega^2 r_s^2. \quad (10)$$

Из (10) видно, что зависимость C_m^{-2} от U линейна и сдвинута параллельно относительно истинной зависимости C_b^{-2} от U на величину, пропорциональную ω^2 и r_s^2 ; экстраполяция линейной зависимости C_m^{-2} от U к $C_m^{-2} = 0$ дает напряжение отсечки, равное

$$U_s = U_D + 2C_{b0}^2 r_s^2 U_D \omega^2; \quad (11)$$

зависимость U_s от ω^2 линейная, а ее экстраполяция к значению $\omega^2 = 0$ дает истинное значение диффузионной разности потенциалов U_D .

Случай $R \neq \infty$ для $\gamma = 2$ рассмотрен в теоретической работе [9], и из анализа эквивалентных схем (рис. 1) следует

$$C_m = C_b \frac{R^2}{(R + r_s)^2} \frac{1}{1 + [\omega^2 C_b^2 r_s^2 R^2 / (R + r_s)^2]}, \quad (12)$$

$$R_m = \frac{R + r_s + \omega^2 C_b^2 r_s^2 (R + r_s)}{1 + \omega^2 r_s R C_b^2}. \quad (13)$$

Зависимость C_m^{-2} от U в этом случае, как и в случае $R \rightarrow \infty$, линейна при малых U , с ростом U отклоняется от линейности, проходит через минимум, а затем возрастает. Однако минимум должен наблюдаться при напряжениях, меньших, чем в случае $R \rightarrow \infty$. С ростом частоты ω минимум сдвигается в сторону отрицательных напряжений, протяженность линейного участка уменьшается, а при высоких частотах ($\omega C_b r_s \gg 1$) емкость практически перестает зависеть от напряжения.

Экспериментальная проверка теории производилась в [10, 11] на примере GaAs и GaP поверхностно-барьерных структур ($\gamma = 2$).

При низких частотах ω ($\omega C_b r_s \ll 1$) характеристика $C_m^{-2} - U$ в области обратных и малых прямых напряжений функционально совпадает с характеристикой $C_b^{-2} - U$, но сдвинута параллельно ей в сторону больших значений C_m^{-2} , и напряжение отсечки превосходит значение контактной разности потенциалов.

С ростом прямого напряжения величина C_m^{-2} достигает минимума, а затем возрастает; напряжение минимума тем меньше, чем больше ω .

В области средних частот ($\omega C_b r_s \sim 1$) протяженность линейного участка характеристики $C_m^{-2} - U$ уменьшается и минимум смещается в сторону отрицательных напряжений.

При высоких частотах измерительного сигнала ($\omega C_b r_s \gg 1$) C_m практически не зависит от U .

Из этих результатов стало понятно, что те экспериментальные данные, которые не укладывались в рамки теорий, обусловлены влиянием остаточного сопротивления на измеряемую емкость структур. Более того, для получения истинных значений электростатических параметров недостаточно, чтобы $C_m^{-2} - U$ -характеристика была линейной, так как она может быть сдвинута относительно истинной зависимости C_b от U и определенные из нее значения электростатических параметров будут неверными.

4. В результате совпадения результатов теории [9] и эксперимента [10,11] появилась возможность предложить модифицированный (частотно-емкостной) метод определения параметров структур с потенциальным барьером. Он заключается в следующем.

1. Измеряется семейство $C_m - U$ -характеристик при разных ω .

2. Из этого семейства выбираются те характеристики, которые в координатах $C_m^{-2} - U$ имеют достаточно протяженные линейные участки, параллельные между собой. Для каждой из этих характеристик путем экстраполяции ее линейного участка к значению $C_m^{-2} = 0$ находится U_s ; затем строится зависимость U_s от ω^2 , которая должна быть линейной, и путем экстраполяции этой зависимости к значению $\omega^2 = 0$ определяется истинное значение диффузионной разности потенциалов U_D .

3. Восстанавливается истинная характеристика $C_b - U$. Для этого в системе координат $C_m^{-2} - U$ на оси U откладывается значение U_D , через ту точку проводится прямая, параллельная линейным участкам семейства $C_m^{-2} - U$ -характеристик. Это и есть $C_b^{-2} - U$ -характеристика, из которой по известным формулам определяются все остальные электростатические параметры структуры с потенциальным барьером.

5. Частотно-емкостной метод был апробирован на примере GaAs и GaP поверхностно-барьерных ($m-s$) структур ($\gamma = 2$). Исходными материалами служили GaAs с концентрацией электронов $\sim 10^{17} \text{ см}^{-3}$ и GaP с концентрацией электронов $2 \cdot 10^{18} \text{ см}^{-3}$ (300 К); $m-s$ -структуры создавались химическим методом [12].

Емкость измерялась с помощью моста Л-2-7 и генераторов ГК-3-40 и Г-4-106 на частотах 0.5–3 МГц и с помощью моста МПП-300 и генератора ЗГ-12 на частотах 5–100 кГц. Амплитуда синусоидального сигнала не превышала 1.5 мВ. Температура измерений комнатная. Значения U_D , определенные из $C_m^{-2} - U$ -характеристик, сравнивались со значениями U_D , получаемыми посредством измерения высоты барьера φ_0 по длинноволновому краю спектра фототока структур.

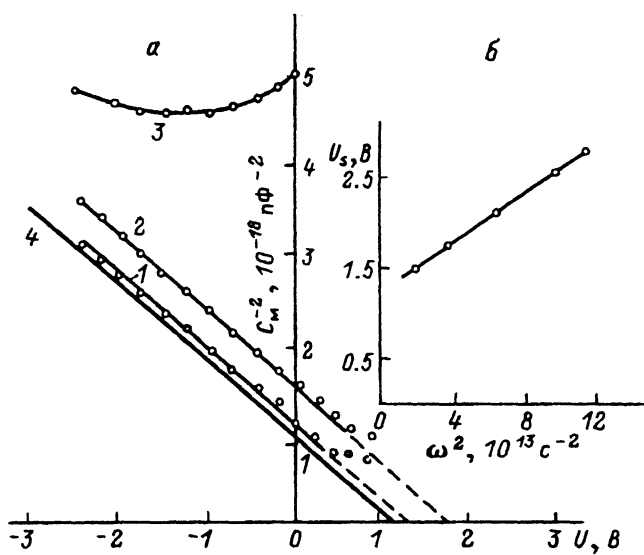


Рис. 2. Зависимость емкости C_m от напряжения U для Au-GaP структур при разных значениях частоты измерительного сигнала f (а) и напряжения отсечки U_s от частоты $\omega = 2\pi f$ (б) при комнатной температуре.

f , МГц: 1 — 0.5, 2 — 1, 3 — 3; 4 — восстановленная $C_b^{-2} - U$ -характеристика.

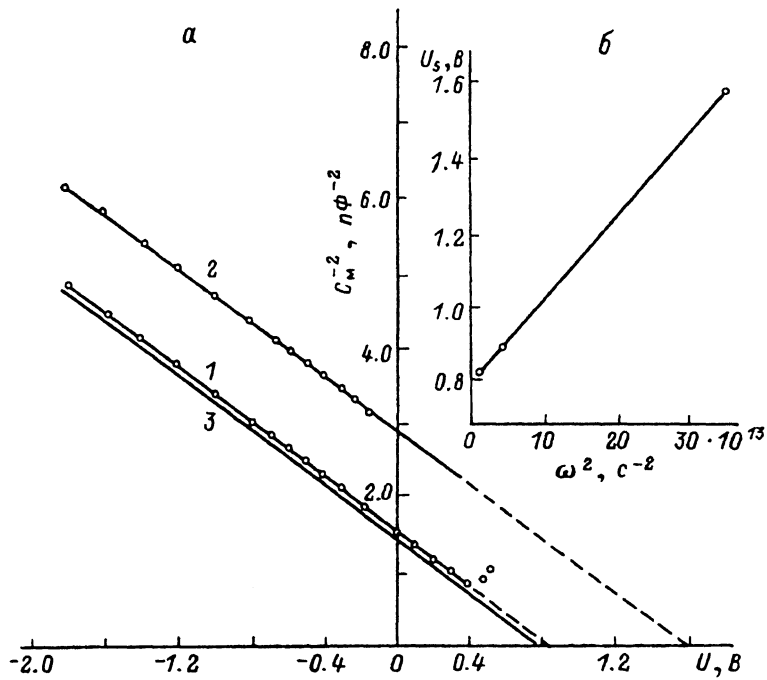


Рис. 3. Зависимость емкости C_m от напряжения U для Au-GaAs структур при разных значениях частоты измерительного сигнала f (а) и напряжения отсечки U_s от частоты $\omega = 2\pi f$ (б) при комнатной температуре.

f , МГц: 1 — 0.5, 2 — 3; 3 — восстановленная $C_b^{-2} - U$ -характеристика.

Измеренные $C_m^{-2} - U$ -характеристики (рис. 2,3) имели достаточно протяженные линейные участки при $f < 3$ МГц (GaAs) и при $f < 2$ МГц (GaP). С ростом ω линейные участки $C_m^{-2} - U$ -характеристик параллельно сдвигаются в сторону больших значений C_m^{-2} , так что U_s возрастает. Зависимость U_s от ω^2 оказалась линейной (рис. 2,3), и определенные из этой зависимости значения диффузионной разности потенциалов U_D оказались равными 0.80 ± 0.02 В (GaAs) и 1.25 ± 0.02 В (GaP).

Значения высоты барьера φ_b , определенные по спектрам фототока, оказались равными 0.82 эВ (GaAs) и 1.29 эВ (GaP), так что значения U_D , вычисленные по формуле $U_D = \varphi_b - (\mu/q)$, оказались равными 0.80 эВ (GaAs) и 1.25 эВ (GaP) (здесь μ — энергия уровня Ферми в полупроводнике, отсчитанная от дна с-зоны, которая для наших структур составляла 0.02 эВ (GaAs) и 0.04 эВ (GaP)).

Таким образом, значения U_D , определенные из семейства $C_m^{-2} - U$ -характеристик при разных ω , в точности совпали со значениями U_D , определенными из спектров фототока. Эти значения были отложены на оси абсцисс характеристик $C_m^{-2} - U$, через эти точки были проведены прямые линии, параллельные линейным участкам семейства $C_m^{-2} - U$ -характеристик, в результате чего были получены восстановленные $C_b^{-2} - U$ -характеристики. Из этих характеристик по обычным формулам были определены значения параметров GaAs и GaP структур: ширины слоя объемного заряда $w = 0.12$ и 0.03 мкм, концентрации ионизованных доноров минус концентрация ионизованных акцепторов $N_D = 1 \cdot 10^{17}$ и $2 \cdot 10^{18}$ см $^{-3}$, максимальные значения напряженности электрического поля в слое объемного заряда $E_m = 1.3 \cdot 10^5$ и $8.3 \cdot 10^5$ В/см соответственно.

6. Итак, предложен частотно-емкостной метод определения электростатических параметров структур с потенциальным барьером, необходимый при изготовлении и исследовании $p-n$ и $m-s$ -структур, особенно на основе слабо легированных полупроводников, когда влияние остаточного сопротивления на измеряемую емкость особенно существенно.

Автор благодарен Б.В.Царенкову за постановку задачи и участие в разработке теории метода.

Список литературы

- [1] Schottky W. // Z. Phys. 1942. Vol. 118. N 9/10. P. 539–592.
- [2] Shockley W. // Bell System Techn. J. 1949. Vol. 28. P. 435.
- [3] Sah C.T., Reddi V.G.K. // IEEE Trans. on Electron. Dev. 1964. Vol. ED-11. N 7. P. 345–348.
- [4] Перель В.И., Эфрос А.Л. // ФТП. 1967. Т. 1. № 11. С. 1693–1701.
- [5] Crowell C.R., Nakano K. // Sol. St. Electron. 1972. Vol. 15. N 6. P. 605–610.
- [6] Родерик Э.Х. Контакты металл–полупроводник. Пер. с англ. М.: Радио и связь, 1982. С. 78.
- [7] Thanailakis A., Rasul A. // J. Phys. C. 1976. Vol. 9. P. 337.
- [8] Ковальчук А.В. // ФТП. 1985. Т. 19. Вып. 2. С. 307–320.
- [9] Константинов О.В., Мезрин О.А. // ФТП. 1983. Т. 16. Вып. 2. С. 305–311.
- [10] Гольдберг Ю.А., Иванова О.В., Львова Т.В., Царенков Б.В. // ФТП. 1983. Т. 17. Вып. 6. С. 1068–1072.
- [11] Гольдберг Ю.А., Иванова О.В., Львова Т.В., Царенков Б.В. // ФТП. 1984. Т. 18. Вып. 8. С. 1472–1475.
- [12] Гольдберг Ю.А., Джаманбалин К.К., Дмитриев А.Г. и др. // ЖТФ. 1990. Т. 60. Вып. 11. С. 208–209.